

論 説

硫酸滓に関する研究(V)
焙燒中に起る諸變化について

(日本鐵鋼協會第28回講演大會講演 昭17.10於東京)

森 棟 隆 弘*

STUDY ON THE PYRITE CINDER (V)
ON THE CHEMICAL AND PHYSICAL CHANGES IN ROASTING

Takahiro Morimune

SYNOPSIS:—In view of knowing some changes of iron, copper and sulphur during roasting, the author tried to make roasting with a thermo-balance, microscopic observation in roasting, magnetic separation at different roasting temperatures and quantitative analysis of copper and iron soluble in water and acids.

目 次

- I 緒 言
II 實驗試料
III 硫酸滓成分の熱天秤に依る酸化焙燒
IV 各成分の焙燒中に起る變化の顯微鏡的觀察
V 焙燒に依る磁性の變化
VI 焙燒を焙燒せる場合の水溶銅及び酸溶銅、並びに水溶鐵、酸溶鐵
VII 热天秤に依る各種硫酸滓の酸化焙燒
VIII 顯微鏡寫真
IX 結 論

I. 緒 言

現在迄は常温に於ける焼滓の諸性質を調べたが、焙燒中の變化を知ることは、處理上極めて必要なことであるから、本報告に於ては、今迄の實驗で知り得た各種の硫酸滓を構成する成分を酸化焙燒して、その性質を見、100°C毎に變化を検鏡して、それがまとまつて焼滓と成った場合の焙燒中に起る變化を知る爲の基礎とした。

次に實際の焼滓について焙燒を行ひ、鐵及び銅の水溶性、酸溶性について調べ、銅及び鐵の變化を明かにした。猶各成分を熱天秤で焙燒した結果は、各々著しい特長を有するので、それを基として各硫酸滓を焙燒してその成分並びに

性質を推定した。

II. 實驗試料

實驗に用ひた試料の一部は礦物、一部は化學薬品でその内礦物のものは產地は第1表に示されるもので、何れも結晶が良く、顯微鏡的にも純粹のものである。

第1表 實驗試料礦物の產地

試料名	產 地
黃 鐵 鑛	新潟縣北蒲原郡赤谷
黃 銅 鑛	秋田縣北秋田郡阿仁
斑 銅 鑛	栃木縣足尾
赤 銅 鑛*	ソ聯產
輝 銅 鑛**	ソ聯產
閃 亞 鉛 鑛	滿洲濱江省小嶺
方 鉛 鑛	滿洲安東省青城子
赤 鐵 鑛	東邊道大栗子郡

上表以外の硫酸銅、硫化銅、酸化銅、酸化第二鐵、四三酸化鐵、硫酸第一鐵、硫酸第二鐵、硫化鐵等は國產薬品の化學純のものである。

III. 热天秤に依る酸化焙燒

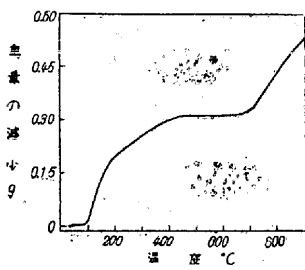
本多式熱天秤を用ひ、感度は0.015gの變化に對し1mm目盛が動く様にした。試料は細粉にし0.2g使用し、試料

* ** 此の兩種の礦石はロシア式工業大學當時の礦物實驗室に陳列せられて居たもので產地不詳である。

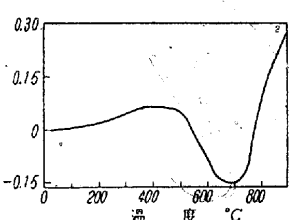
を載せる坩堝はバツタシイを切つて作つたものを使ひ、その上に試料を薄く擴げた。この坩堝は多少重量の變化はあるから、補正曲線を作つて補正したが、これと試料との反應は無かつた。

次に示す酸化焙燒に依る重量變化の曲線は、試料 1g についてのもので、この曲線に依り各成分礦物、又は化合物の加熱中の變化を知り、顯微鏡的觀察と合せて焙燒中の變化を調べた。

第1圖は硫酸銅を加熱したもので、通常の硫酸溼に於ても屋外に放置せられる間に、數日で 3 分子程度の水を持つ様になると考へ得られる。その變化を見るに 90° 附近で重量を減少し始め $CuSO_4 \cdot H_2O$ となり、160° 附近で無水物と成る。次に 670° 附近で分解し、 $2CuO \cdot SO_3$ と成ることが顯微鏡上黄褐色を呈することで知られ、710° 附近よりそれが分解し、 SO_3 を發生し CuO を生じる。



第1圖 硫酸銅

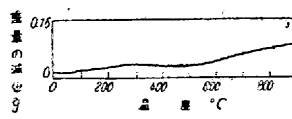


第2圖 黃銅礦(新潟縣)

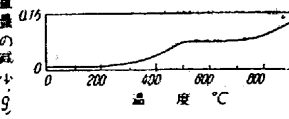
第2圖は黃銅礦を酸化焙燒した曲線で、350° 迄重量の減少を見るが、それ以後次第に重量を増し、670° 附近迄それが續き、以後急速に減量する。350° 迄の減量は吸濕水の放出、少量の赤銅礦、輝銅礦の生成であり、それ以後の増量は硫酸銅の生成であり、500° 附近から亞鐵酸鹽の生成が認められる。670° よりの減量は、主として生成した硫酸銅の分解に依る CuO の生成に依る。

第3圖は輝銅礦を加熱したもので、曲線上著しい變化は無いが、鏡下に見ると、300°C 附近から $CuSO_4$ を生じ、それが猶高溫で分解し、800°C 附近では $CuFe_2O_4$ と CuO となる。

第4圖は赤銅礦 (Cu_2O) のもので、250° から少し減量し始め、460° からは緩やかに減量し、740° から曲線の角度は少し急となる。これは 400° 附近で少し CuO を生じ始



第3圖 輝銅礦(ソ聯)

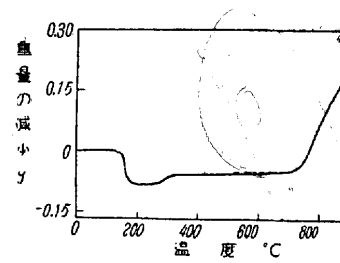


第4圖 赤銅礦(ソ聯)

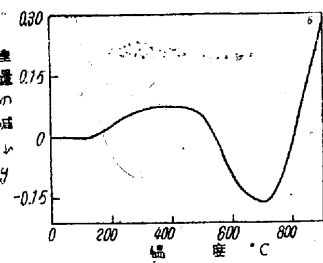
め、それが 640° 迄餘り變らないが、それから急に CuO に全部が變つた爲にこの様な曲線を示す。

第5圖は CuS で 140° より增量し始め、470° で止まり 680° 遠は極めて僅か減量し、以後は著しく減量する。これは 140° 附近より硫酸銅を生成し、以後は第1圖と同じく硫酸銅の變化を通り、最後は CuO と成る。

第6圖は斑銅礦の焙燒曲線で、500° 遠は鏡下で餘り變化



第5圖 CuS

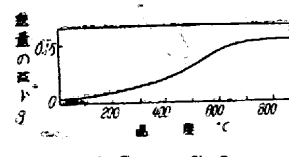


第6圖 斑銅礦(栃木縣)

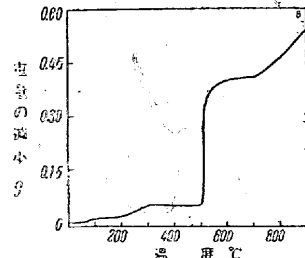
を見られないが、600° で輝銅礦、亞鐵酸銅、硫酸銅を生成したことが見られ、これに依る增量と考へる。以後は黃銅礦と同じ経路を辿るものと考へる。

第7圖は CuO で 200° 附近で少し Cu_2O を生じるが、それは餘り増さず、700° 附近で又全部 CuO と成る。常温に於ける CuO と 900° に加熱したものでは後者が著しく光澤が増し、黒色も増し、結晶性もある。

第8圖は黃鐵礦で顯微鏡的に純粹のものを選んだ。既に 200°C 附近から少量の硫黃が離れ、300°C より 500°C に至る重量變化の無い部分は、硫酸鐵の生成が曲線に加はる爲で、550°C のものを鏡下で見ると、 $Fe_{n}S_{n+1}$ 及び Fe_2O_3 、 Fe_3O_4 の生成が見られ、それは磁性を有してゐる。次に 590°C 附近より急激に硫黃が取れ Fe_2O_3 を主とし、 $Fe_{n}S_{n+1}$ 、 Fe_3O_4 及び FeS を少量混じたものと成る。又 500°C の始めでは猶組織中に極めて小點として光輝ある FeS_2 を残してゐる 700°C よりの變化はこれ等硫化物の分解に依る減量が主で、それに Fe_2O_3 の加熱に依る少量の減量が加はつたものである。



第7圖 CuO



第8圖 黃鐵礦(秋田縣)

第9圖 赤鐵礦(東邊道)

第9圖は東邊道大栗子溝の富礦を焙燒したもので、減量

ば他のものを強い磁石で引けば磁性側へ行つてしまふ譯であると説明した。その上銅礦物も極めて小さいから、その一部に附着して何れかに分けられるだけで、何へ行くかと云ふことは、その附着したものに依るのみで、推定も出来ないし、理論的にも定め得ない。この様にそのまま磁選したのでは、何等の効果が無いので、その基礎を爲す黄鐵礦、黄銅礦等を焙燒してそれを磁選別し、その磁性を有する礦物の種類、形、又亞鐵酸銅等について調べ、且實際の硫酸鉻についてそれを確かめることを試みた。

(1) 黄鐵礦焙燒に於ける磁性の変化

純粹な黄鐵礦を焙燒した時にはその磁性は磁硫鐵礦に依るものと、磁鐵礦に依るものとで、その何れが主になるかは焙燒温度で決る。磁選法は第 II 報と同じで、使用電流は 4A である。

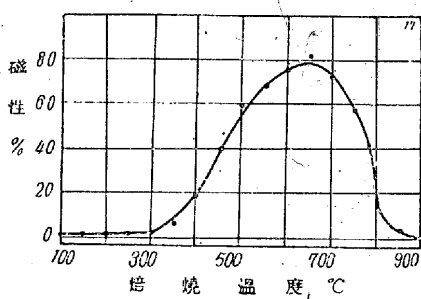
即ち第 17 圖の如く 200°C 附近より極く少く磁性を有するものがあり、650°C が最大であり、それより比較的急に下り、800°C では少量の磁性を有するものとなり 900°C で磁性を有するものは痕跡と

なる。この磁性の原因を知る爲、鏡下で見ると、磁硫鐵礦及び磁鐵礦が見られ、組織中に極めて小さい白點があるが、それは残留黄鐵礦で、良く焙燒したものでは 600°C でこれが消える。焙燒が進むにつれ磁鐵礦は赤鐵礦となり。

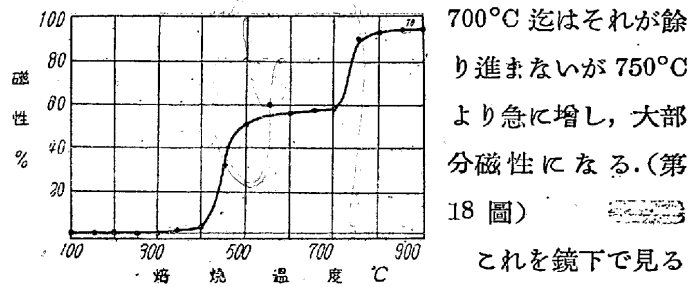
第 2 表で示した如く 700°C では 95%，800°C では全部 Fe_2O_3 となり、非磁性となるし、磁硫鐵礦も分解して Fe_2O_3 に變つて行くから、この兩者が加はつて 650°C を頂上とし、曲線は下るのである。従つて通常の硫酸鉻で磁性部分の多いものは、比較的低温で焙燒されたものであり、これに反し少いものは高温で焙燒されたものと考へることが出来る。但しこれは比較的銅分の低い場合であつて、強磁性の亞鐵酸銅を有する場合には多少異つて来る。

(2) 黄銅礦焙燒に於ける磁性變化

黄銅礦を焙燒した場合の磁性は、それを加熱せる場合は主として亞鐵酸銅に依るもので、それに多少磁鐵礦及び磁硫鐵礦が加はるが、800°C 以上のものは殆ど全部亞鐵酸銅に依る。即ちこれを焙燒すると、400°C 近は全く非磁性であるが、450°C 附近より急に磁性を有するものを生じ、



第 17 圖 黄鐵礦焙燒産物の磁性



700°C 近はそれが餘り進まないが 750°C より急に増し、大部分磁性になる。(第 18 圖)
これを鏡下で見る

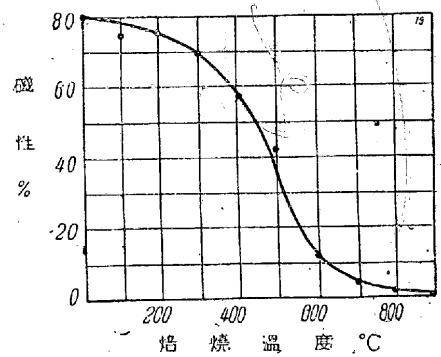
第 18 圖 黄銅礦焙燒産物の磁性と、500°C のものは $CuSO_4$, Cu_2O , Cu_2S が主として見えるが、その中に $CuFe_2O_4$ を混入し、小量の Fe_3O_4 , $Fe_{n}S_{n+1}$ も見ることが出来る。そして 700°C の非磁性部分を見ると、 CuO が Fe_2O_3 の中に散在してゐる。それが 750°C 以上になると殆ど亞鐵酸銅となり。後で寫眞で示す様にそれが粒の内部に出来ることもあるし、外部を圍むこともある。この亞鐵酸銅について吾國では、木村唯助氏⁶⁾、久島亥三雄氏⁷⁾ 等に依り研究せられ、 CuO と Fe_2O_3 よりは 600°C 以上で Cu_2O と Fe_2O_3 よりは 500°C 以上で、 $CuFe_2O_4$ を生じ始め、750°C 乃至 900°C で盛んに生成されることが實驗的に證明されてゐる。第 18 圖の様に曲線が階段的になるのは、700°C 近は $CuFe_2O_4$ の生成が餘り大で無く、 Fe_3O_4 及び $Fe_{n}S_{n+1}$ の磁性に相當依つた爲で、全量の 58% 位より磁性のものは無いが、それ以上の温度では、 $CuFe_2O_4$ の生成が著しく、 Fe_3O_4 は消失し、 $Fe_{n}S_{n+1}$ も少くなり、酸化銅が存する時には殆ど全部 $CuFe_2O_4$ を生じ、後で寫眞に示す様に Fe_2O_3 もその中に巻き込む爲に、磁性物が多くなるのである。

(3) 硫酸鉻を焙燒せる場合の磁性變化

試料は昭和 IV を用ひ、-48 に碎き、100°C より 900°C

迄各温度に酸化焙燒して、電磁石に電流を 4A 通じ、1cm の距離で磁選した。(第 19 圖)

即ち圖の如く焼溼そのまゝでは、80.4% 磁性部分と



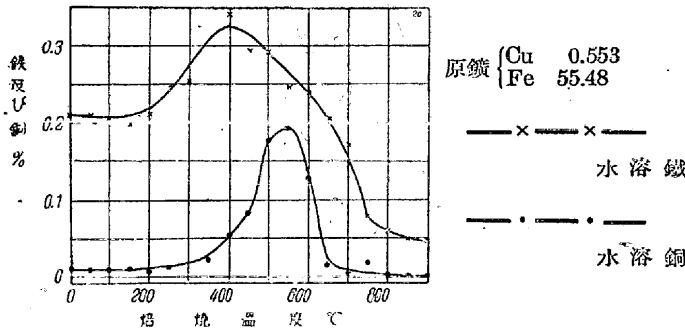
第 19 圖 硫酸鉻を焙燒せる場合の磁選

なるが、焙燒されるに従ひ非磁性のものが多くなり、400°C では磁性のもの約 63%，600°C では 13%，900°C では 22% となる。この様になるのは、常温に於ける磁性は、磁鐵礦及び磁硫鐵礦であつて、それが焙燒されるに連れ何れも Fe_2O_3 が多くなり、遂には全部變る爲に非磁性のものが次第に多くな

り、 700°C では、未だ極く少量 Fe_3O_4 及び $\text{Fe}_{n}\text{S}_{n+1}$ が残つてゐる爲の磁性と CuFe_2O_4 で、 800°C では多少残つて居る $\text{Fe}_{n}\text{S}_{n+1}$ と CuFe_2O_4 に依る磁性で、この時はもう Fe_3O_4 は無い。 900°C のは全部 CuFe_2O_4 に依る。

VI. 焼津を焙燒せる場合の水溶銅及び酸溶銅並びに水溶鐵、酸溶鐵

昭和 IV の試料を用ひ、-48 メッシュの粒の大きさとし、 100°C より 900°C 迄 50°C の間隔で焙燒した。水溶性及び酸溶性を見る爲には各 2g を取り、ピーカー中へ入れ、液量は 600cc とし、1mn 間沸騰せしめた。水溶性を調べる爲には、蒸溜水を用ひ、0.3% 遊離 HCl のものとは、しなかつた。酸溶性は 9% 硫酸を使った。



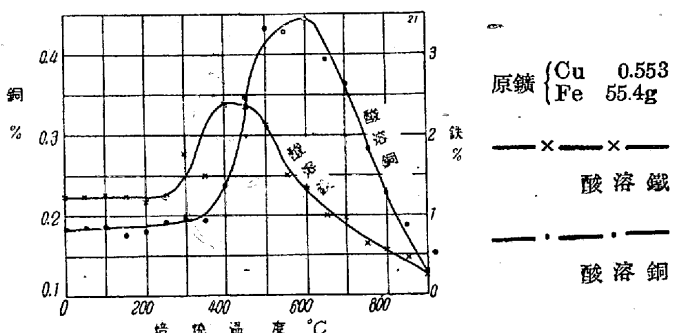
第 20 圖 水溶銅及び水溶鐵

即ち上図の如く水溶銅は 350°C 迄は餘り變りが無いが 400°C から増し始め、 500°C では著しく増し、 550°C を頂上とし急に降り、 650°C では極めて少なくなり、それ以後は殆ど無い。この水溶銅は、勿論硫酸銅で各種の銅化合物から生成される爲、 550°C を最高とし、急に曲線が降る。これはこの溫度から CuSO_4 の分解が盛んとなるからである。

次に硫酸滓はそのまゝで既に前報の如く、 FeSO_4 及び $\text{Fe}_2(\text{SO}_4)_3$ を有してゐるので、低溫から水溶鐵があるが、それが 400°C で最高となり、 750°C 迄急に降り、それ以後は極めて僅かとなる。硫酸鐵は 600°C では完全に分解して Fe_2O_3 となるが、猶この焼滓が水溶鐵を有するのは、水素イオン濃度の價が早く小となる爲であると考へる。

酸溶銅は第 21 圖に示すもので、 600°C を最高とし、以後は降つて行く、この硫酸には、 CuSO_4 は勿論溶けるが、 CuO 及び Cu_2O の一部が溶解する。 600°C 以後の曲線の下りは CuO と Fe_2O_3 より亞鐵酸銅の生成の爲である。

酸溶鐵は硫酸鐵に硫化鐵が加はつたもので、 400°C を最



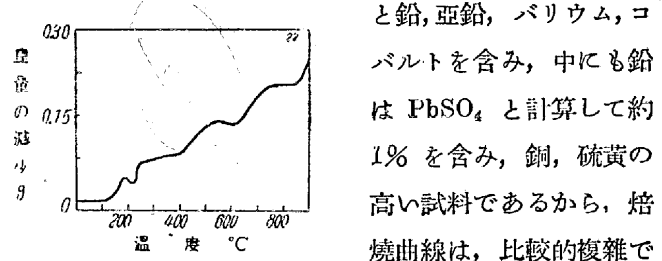
第 21 圖 酸溶銅及び酸溶鐵

高として下つて行く。磁硫鐵礦はその一部溶けるのみである。

VII. 熱天秤に依る各種硫酸滓の酸化焙燒

第 1 圖より第 16 圖迄に示した様に、硫酸滓の各成分を焙燒して見ると、その各々が異つた焙燒曲線を示すので、硫酸滓もこれを焙燒して見ると、その曲線の具合に依つて成分が複雑であるか、硫黃を多量に含むか、水溶銅が多いか否か及び一部の銅の形又水溶鐵が多いか如何かも推定することが出来る。

第 22 圖は昭和 II で粉鐵焙燒のもので、成分から見る



第 22 圖 昭和 II

と鉛、亜鉛、バリウム、コバルトを含み、中にも鉛は PbSO_4 と計算して約 1% を含み、銅、硫黃の高い試料であるから、焙燒曲線は、比較的複雑である。即ち 180°C 附近よりの増量は、 FeSO_4 の生成で、これらを含み始めから 400°C 迄の減量は CuSO_4 の脱水であり、次に 540°C 迄は FeSO_4 は分解及び残留硫黃が一部取れることで減量し、それより CuSO_4 の生成で 600°C 迄増量するが、又 CuSO_4 の分解で減量して行き、 840°C 附近で波の出来るのは、 FeS の変化と推定出来る。以上の様に本焼滓は、硫黃 3.4% で高い方であるが、銅は大部分焙燒で CuSO_4 と成ることが見られ、且焙燒後の減量も 26% であるから、比較的単純な成分のものになつたことが曲線から知られる。

第 23 圖は昭和 III で昭和の粒の部分を除き、粉のみのものであるが、 $\text{Cu} 0.669\%$ 中、水溶銅は 34%，硫黃は 2% であるから、比較的前圖に似た曲線を示してゐる。たゞ CuSO_4 の生成が著しく見えないで水平に成つてることで、組織中に極めて小點として存する未分解黃鐵礦がある

亞鉛鑄の如きものも、この中にあるので無いかと考へさせられる。

第35圖は昭和製鋼の楊家杖子焼滓、第36圖は同所の林家台-王德焼滓で、前者は變つた成分を持たないが、後者は多少複雑であることが知れる。

第37圖は連星のもので、成分が相當複雑であることを示してゐる。即ち銅、硫黃が高く、銅も水溶銅は多く無く他の形のものがあること、硫酸鐵、FeS等も在ることが見える。

VIII. 顯微鏡寫眞

顯微鏡寫眞を取るに用ひたものは、總て前と同じで、やはり暗視野顯微鏡を用ひ、寫眞機はエキザクタを用ひた。

第38圖は黃鐵鑄を200°Cに焙燒したもので、粒の表面は黒色に成つて居るが、磨くと内面は光りがあり、多少變化のあつたことを示すが、大きい變化は無い。

第39圖は500°Cに焙燒したもので、地は Fe_2O_3 で赤褐色を呈して居り、光りの強い白點は未分解の黃鐵鑄、粒の外側に近い白點は $Fe_{n}S_{n+1}$ 、黒點は Fe_3O_4 である。氣孔も多い。

第40圖は同じ試料の他の部分で、磁硫鐵鑄（輝ける點を有する組織）及び赤鐵鑄より成る。

第41圖は700°Cに焙燒したもので、地は Fe_2O_3 でそ

れに少量 $Fe_{n}S_{n+1}$ が混入して居る。

第42圖は800°Cに焙燒したもので、内部の大部分は Fe_2O_3 極く少し $Fe_{n}S_{n+1}$ の小白點あり、外廓は $Fe_{n}S_{n+1}$ でその近くにFeSが見られ、又中の方にも散在してゐる。

第43圖は化學純の Fe_2O_3 を400°Cに酸化、焙燒したもので、黒は Fe_2O_3 白は銅黑色條痕赤褐、非磁性で鏡鐵鑄であるが、中にはマアタイトと判定されるものがある。

第44圖は黃鐵鑄を600°Cに加熱し、その磁性部分を選別したもので、内部は磁硫鐵鑄と少量の磁鐵鑄より成り、外周は Fe_2O_3 である。

第45圖は同じくその一部で、地は磁硫鐵鑄より成り、それに赤銅鑄を有してゐる。（寫眞では白）

第46圖は黃鐵鑄を500°Cに加熱したもので、外側は Fe_2O_3 中の白と黒とは Fe_2O_3 と未分解 FeS_2 との混合したもの。

第47圖は900°Cに加熱したので、全部非磁性となり、 $Fe_{n}S_{n+2}$ は完全にこはれ Fe_2O_3 と氣孔となつたもの。

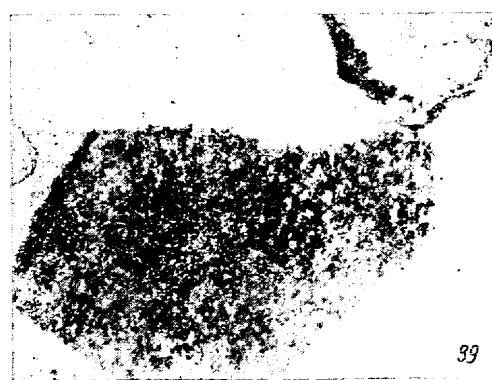
第48圖 CuOと Fe_2O_3 を1:1の全量で混合し800°Cに焙燒し作つた亞鐵酸銅($CuFe_2O_4$)で黒はそれを示し、白の部は Fe_2O_3 で各所に島の様に過剰の Fe_2O_3 は集められる。黒の組織中には灰黒のCuOも少し残つてゐるのが



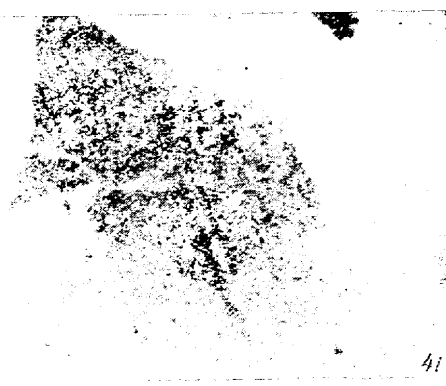
第38圖 焙燒黃鐵鑄 (200°) × 300



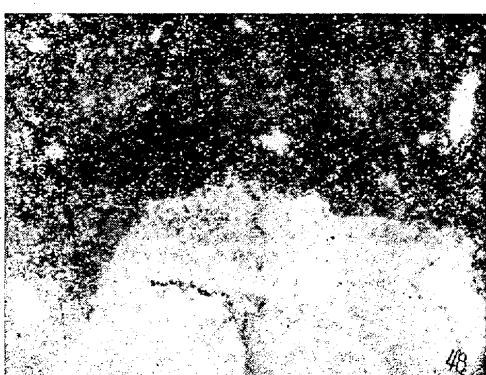
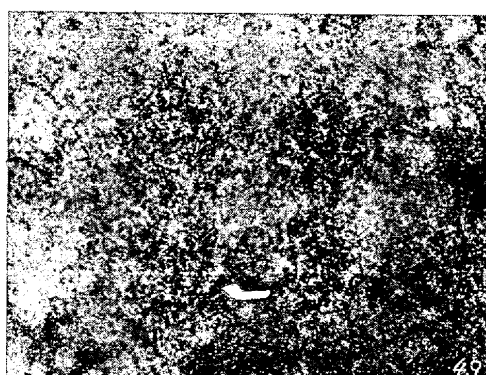
第40圖 焙燒黃鐵鑄 (500°) × 600



第39圖 焙燒黃鐵鑄 (500°) × 600



第41圖 焙燒黃鐵鑄 (700°) × 600

第42圖 焙燒黃鐵礦 (800°) $\times 400$ 第46圖 焙燒黃鐵礦 (500°) $\times 450$ 第43圖 Fe_2O_3 (焙燒溫度 400°) $\times 1800$ 第47圖 焙燒黃鐵礦 (900°) $\times 900$ 第44圖 黃鐵礦 (400° 焙燒, 磁性部分) $\times 900$ 第48圖 亞鐵酸銅 $\times 450$ 第45圖 黃鐵礦 (400° 焙燒, 磁性部分) $\times 900$ 第49圖 亞鐵酸銅 $\times 900$



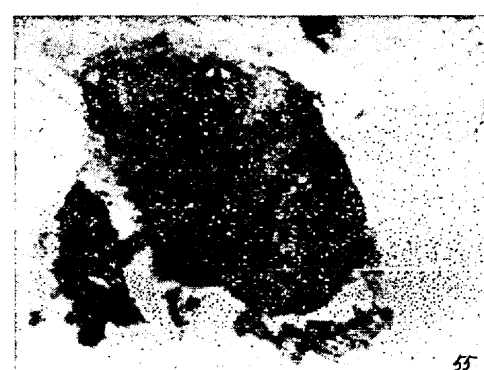
第50圖 焙燒黃銅鏽 (400°) × 900



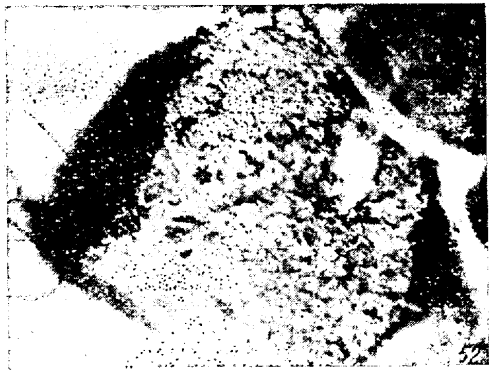
第54圖 焙燒黃銅鏽 (800°) × 900



第51圖 焙燒黃銅鏽 (600°) × 900



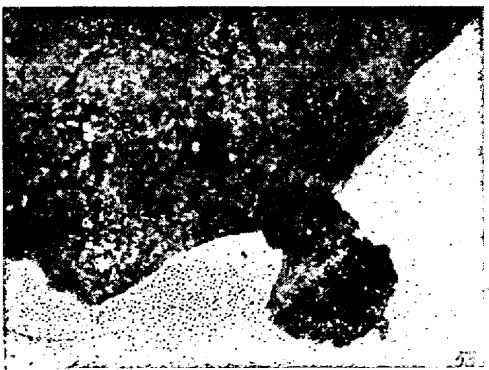
第55圖 焙燒黃銅鏽 (900°) × 600



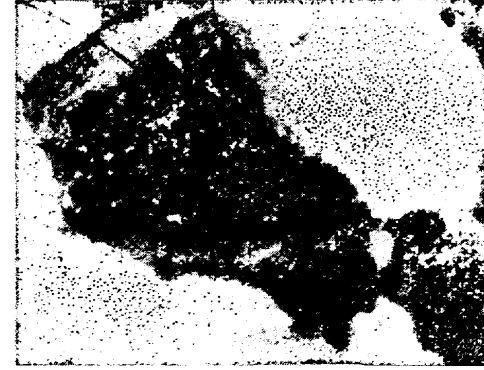
第52圖 焙燒黃銅鏽 (700°) × 900



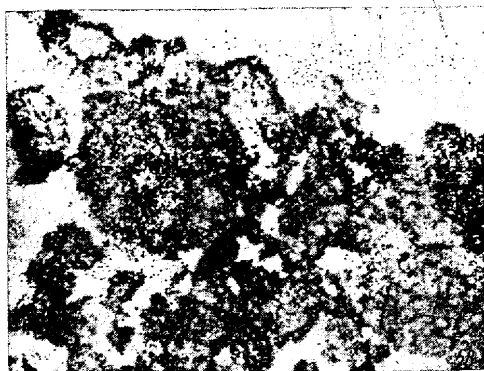
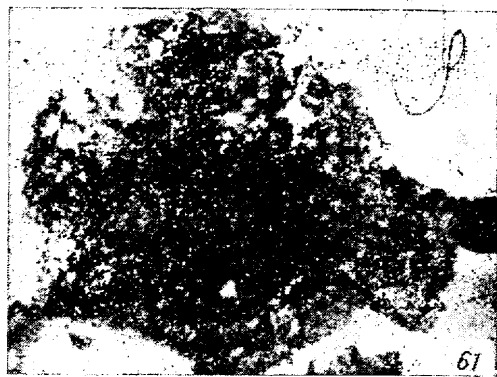
第56圖 焙燒硫酸浴 (400°) 昭和 × 450



第53圖 焙燒黃銅鏽 (800°) × 900



第57圖 焙燒硫酸浴 (500°) × 450

第 58 圖 焼燒硫酸津 (700°) $\times 450$ 第 61 圖 焼燒硫酸津磁性部分 (750°) $\times 450$ 第 59 圖 焼燒硫酸津 (900°) $\times 450$ 第 62 圖 焼燒硫酸津磁性部分 $\times 450$ 第 60 圖 焼燒硫酸津 (550°) $\times 450$ 第 63 圖 焼燒硫酸津磁性部分 $\times 450$

見える。

第 49 圖は同上のものゝ黒の組織の部を拡大したもので強磁性を有して居り、黒は CuFe_2O_4 、灰黒 CuO 、白 Fe_2O_3 である。

第 50 圖は黃銅礦を 400°C に焙燒したもの、光れるものは輝銅礦 (Cu_2S) で、 CuSO_4 も相當その中に生じてゐる又圖では明かで無いが、中の方に赤銅礦 (Cu_2O) が生じてゐる。

第 51 圖は黃銅礦を 600°C に焼いたもので、輝銅礦を生じてゐる。右方の白の塊は Cu_2O 又 CuSO_4 が相當析出して混じて居るが、これは試料製作後一ヶ月後に撮影した爲、良く析出着色し、 Cu_2S の間が黒いのはその爲である。

第 52 圖は 700°C に焼いたもので外面は斑銅礦を示し内部は Cu_2S である。

第 53 圖は 800°C に焼いたもので、黒は CuFe_2O_4 で他は Fe_2O_3 で此の様に明かに分離する。

第 54 圖は同じ試料で地は Fe_2O_3 、黒は CuFe_2O_4 、薄黒は CuO 及び未だ集らぬ CuFe_2O_4 である。

第 55 圖はやはり黃銅礦を 900°C に焼いたもので、これは熱天秤を使つた。下部の黒は CuFe_2O_4 他は Fe_2O_3 、白く光るのは殘留した $\text{Fe}_{n+1}\text{S}_{n+1}$ である。

第 56 圖は昭和 IV を 400°C に酸化焙燒したもので、白は磁硫鐵礦、黒は氣孔、薄黒 Fe_2O_3 極く薄い黒は Fe_3O_4 である。

第57圖は500°Cに焼いたもので、外側は Fe_2O_3 、内部は輝銅礦で、その中には $CuSO_4$ を相當混合してゐる。

第58圖は同じく昭和IVを700°Cに焙燒したもので、主として Fe_2O_3 より成るが、その中に黒の $CuFe_2O_4$ が散在して居る。この溫度では未だ $CuFe_2O_4$ の生成が盛で無い爲に、或る箇所に凝集する様なことが見られない。

第59圖は900°Cに焙燒したもので、大部分 Fe_2O_3 、小白點は $Fe_{n}S_{n+1}$ 黒は $CuFe_2O_4$ である。

第60圖は斑銅礦がある試料のため取り出したもので、550°Cに焙燒した硫酸滓IVで、左の方の黒いのがそれで、輝いた Cu_2S の中にある。他は Fe_2O_3 で FeS が少し混入して居るのが見える。圓い小白點は未分解の FeS_2 である。

第61圖は昭和IVを750°Cに焙燒し、その磁性部分で黒の塊及び外壁に近い黒は $CuFe_2O_4$ 、輝く白點は磁硫鐵礦、小白點は殘留 FeS_2 、薄黒は FeS (中程度の黒のもので餘り澤山は無い)。その他は Fe_2O_3 である。

第62圖は同じ試料の別の部分で、薄黒は Fe_2O_3 、黒は $CuFe_2O_4$ 、黒に周りを圍まれてるのは Fe_2O_3 で、人工の $CuFe_2O_4$ と同じ傾向を持つてゐる。

第63圖同じ試料の $CuFe_2O_4$ と Fe_2O_3 の部分を撮つたもので、黒の $CuFe_2O_4$ の中には小白點がある。それは Fe_2O_3 で CuO も多少混じて居る様に見え、人工的のものによく似てゐる。又周りを圍まれてゐる Fe_2O_3 も見える。

IX. 結論

硫酸滓及びその成分を成す諸化合物及び礦物の焙燒中に

起る變化を調べ次の結論を得た。

- 1) 16種の硫酸滓成分を熱天秤で焙燒すれば、その各々が異つた曲線を示し、變化の経路を知り得る。
- 2) 各成分を焙燒し100°C毎に検鏡すれば、焼滓の焙燒中に起る變化も推定し得る。
- 3) 黃鐵礦、黃銅礦、硫酸滓を焙燒する時、著しき磁性の變化がある。
- 4) 硫酸滓を焙燒すると水溶銅は550°C酸溶銅は600°Cが最大にして、良く基礎實驗と一致する。
- 5) 热天秤に依る基礎焙燒曲線から硫酸滓の焙燒曲線を見ると、その性質及び成分の概要を知り得る。

以上本實驗を行ふに際し、種々御教示を頂いた當學佐藤教授に對し感謝の意を表し、實驗に助力せられたる當學助手レベデフオルグ君、本溪湖煤鐵公司苗德權君の勞を多とする。

引用文獻

- 1) 小川芳樹：日本礦業會，46(昭5)515。
- 2) 石原富松：岩波講座、地質礦物學 閃亞鉛礦及び類似礦物の焙燒的性質 25頁。
- 3) 森棟隆弘：磁硫鐵礦利用に關する研究(I)鐵と鋼、昭17(28)14頁。
- 4) 森棟隆弘：硫酸滓に關する研究(II)鐵と鋼、昭和16、732頁。
- 5) 森棟隆弘：同上、741頁。
- 6) 木村唯助：カーネルの焙燒に就て、礦業會誌、48(昭7)1275頁。
- 7) 久島亥三雄：含銅硫化鐵礦燒滓處理に關する化學反應に就て(III)、採治月報、昭12(15)、60頁。

製銑用新型電氣高爐の設計及び操業に就て

林 達夫*

I. 緒言

銑鐵は古くから鎔鑄爐で製造せられ、長年の經驗により極めて安價に造られる。

電氣銑鐵は鎔鑄爐銑鐵と競争するには、コークスに比し、餘りにも高價な電力と電極を必要として、經濟的に成立せず、一般に顧みられない状態であつた。

* 大同製鋼會社 The synopsis to this article is on p. 26

多年輸入屑鐵に依存してゐた我國製鋼業者が、最近の重大局面に直面し、鑄石法に基く銑鋼一貫作業を採用せんとするも、今遽かに大規模な鎔鑄爐を設置する事は容易でない。然るに電氣製銑法による銑鐵は、比較的小資本で手軽に得られ、然もその成分が低炭素、低珪素で低磷、低硫黄特に電氣製鋼用として好適である。従つて電氣製銑法は、現下の我國の要求に適應し、その優秀性は漸く一般の注目する處となつた。即ち我國電氣製銑法は、屑鐵に代るに低